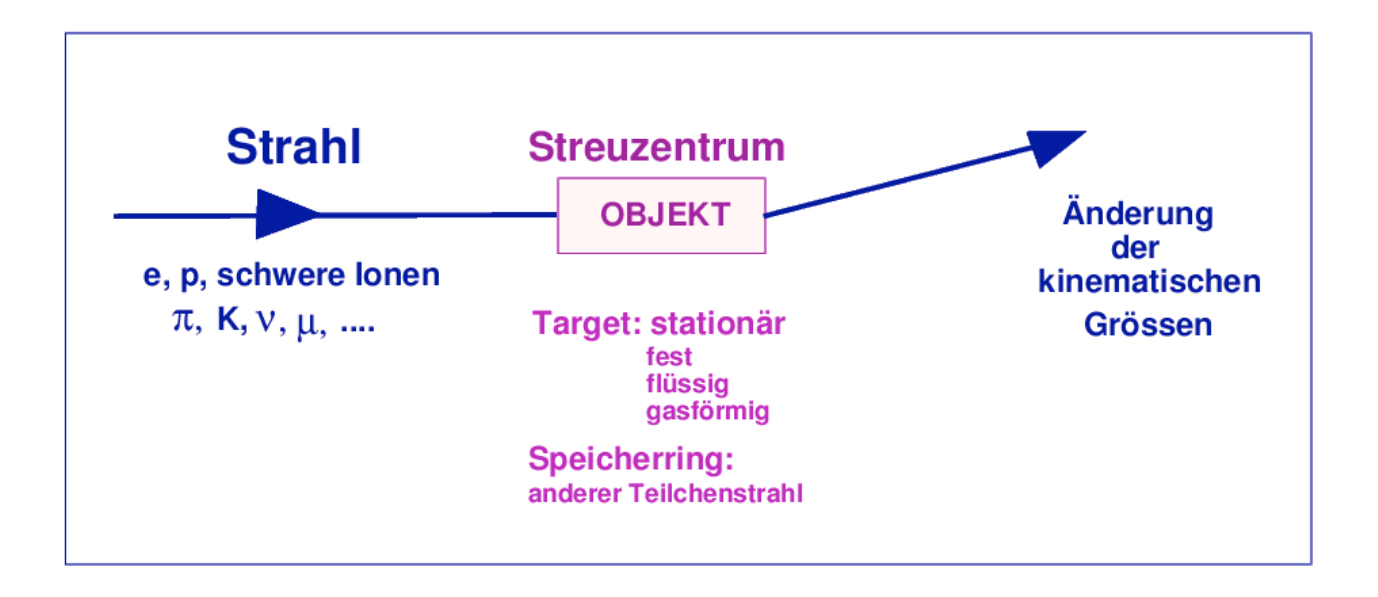
KAPITEL 2 : Theoretische Konzepte

- 2.1 Einleitung: Streuexperimente
 2.2 Wirkungsquerschnitt
 2.3 Fermi Goldene Regel
 2.4 Wechselwirkungen Kräfte
 2.5 Feynman Diagramme
- 2.6 Teilchen und Antiteilchen
- 2.7 Relativistische Wellengleichung für freie Teilchen

Streuexperimente spielen wichtige Rolle in der Kernund Teilchenphysik

- Details über Wechselwirkungen zwischen Teilchen
- Information über innere Struktur der Kerne und ihre Bausteine



Teilchenstrahlen sind

- "Sonden": zur Untersuchung der Struktur des Streuzentrums
- "Energiequellen": um beim Beschuss des Streuzentrums angeregte Zustände oder neue Teilchen zu erzeugen

Ausschlaggebende Grösse zur Erzeugung neuer Teilchen oder angeregter Zustände:

Schwerpunktsenergie: $E_{\rm CM} = \sqrt{s}$

Relativistische Transformationen

- Für die meisten Prozesse in der Teilchenphysik: Teilchen haben $v \sim c$
- Gesetze müssen invariant sein unter Lorentz-Transformationen (relativistische Kinematik!)
- ullet Hier verwendete Notation: seien A und B zwei Vierer-Vektoren. Das Skalarprodukt ist definiert als

$$A \cdot B = A^{\mu} g_{\mu\nu} B^{\nu} = A_{\nu} B^{\nu} = A^{\mu} B_{\mu} = A^{o} B^{o} - \vec{A} \cdot \vec{B}$$

 μ , ν = 0: Energie (oder Zeit) Komponente μ , ν = 1,2,3: Impuls (oder Raum) Komponente Konvention : Summation über gleiche Indizes!

$$g_{\mu
u} = \left(egin{array}{cccc} 1 & 0 & 0 & 0 \\ 0 & -1 & 0 & 0 \\ 0 & 0 & -1 & 0 \\ 0 & 0 & 0 & -1 \end{array}
ight)$$
 Metrischer Tensor

• Energie-Impuls Vierervektor: p^{μ} mit μ = 0,1,2,3

Mit unserer Notation

$$p^0 = E/c$$
 $\}$ E oder Zeitkomponente $p^1 = p_x$ $p^2 = p_y$ $p^3 = p_z$ $\}$ \vec{p} oder Raumkomponente

ullet Relativistische Beziehung: $E^2 = ec p^2 c^2 + m^2 c^4$

Relativistisch invariante Grösse (c = 1):

$$p^2 = p \cdot p = (p^0)^2 - (p^1)^2 - (p^2)^2 - (p^3)^2 = E^2 - \vec{p}^2 = m^2$$
 (Masse²!)

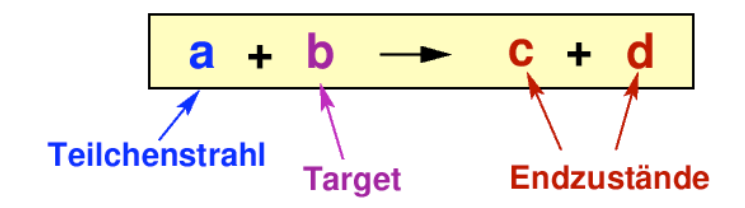
• Lorentz-Transformation: (betrachten Boost in z Richtung) :

$$p^{'\mu} = \Lambda^{\mu}_{\nu} p^{\nu}$$

$$\Lambda^{\mu}_{\nu} = \begin{pmatrix} \gamma & 0 & 0 & -\beta \gamma \\ 0 & 1 & 0 & 0 \\ 0 & 0 & 1 & 0 \\ -\beta \gamma & 0 & 0 & \gamma \end{pmatrix} \qquad \gamma = \frac{1}{\sqrt{(1-\beta^2)}}, \;\; \beta = \frac{v}{c}$$

Zweiteilchenreaktion

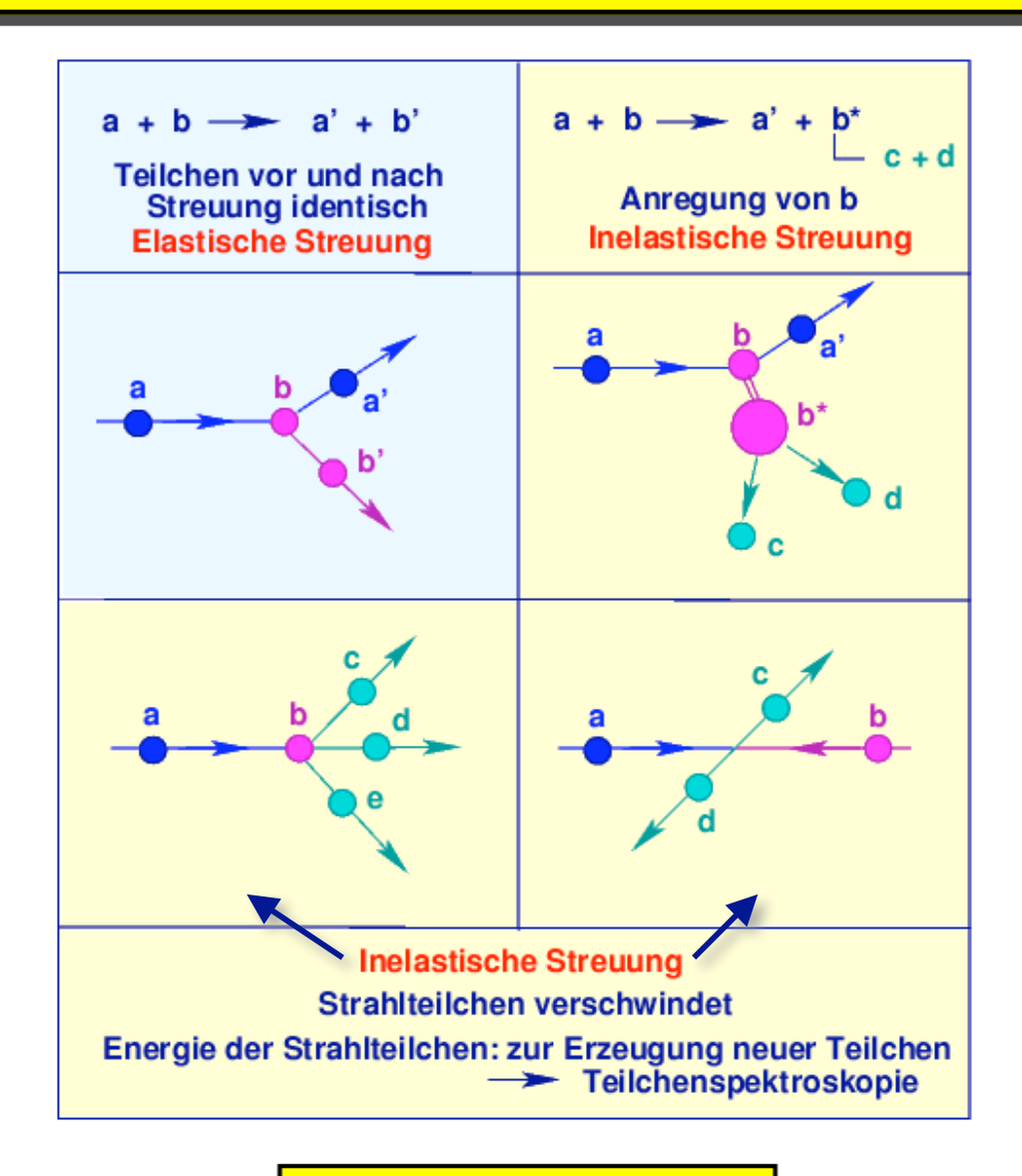
Betrachte Zweiteilchenreaktion:



LABORSYSTEM	SCHWERPUNKTSSYSTEM
p _a μ _b θ _{LAB} μ _D	$ \begin{array}{cccccccccccccccccccccccccccccccccccc$
Target ruht: $\vec{p}_b^{LAB} = 0$ $E_b^{LAB} = m_b c^2$	$\vec{p}_a^{CM} + \vec{p}_b^{CM} = 0$

- Zweiteilchenreaktion: a + b \longrightarrow c + d Definitionen $p:=(p_a+p_b)$, $s:=p^2$, M:= Gesamtmasse des Systems a,b $p^2=M^2c^4=(E_a+E_b)^2-(\vec{p}_a+\vec{p}_b)^2\cdot c^2$ Lorentz-invariant $s=(E_a^{\rm CM}+E_b^{\rm CM})^2=(E_{\rm CM})^2$ (Gesamtenergie im CM-System) 2
- Für $E_{a,b}\gg m_ac^2$, m_bc^2 d.h. $E_{a,b}\approx |\vec{p}_{a,b}|$: Stationäres Target: $\sqrt{s}=\sqrt{2E_a^{\rm LAB}m_b~c^2}$ Speicherring: $\sqrt{s}=\sqrt{4E_aE_b}$ $\sqrt{s}=2E$ für $E_a\simeq E_b$, a = b

Elastische – Inelastische Streuung



Elastische Streuung

• Information über räumliche Form des Objekts, an dem gestreut wird, bzw. des Wechselwirkungs-Potentials: Variation der Streudaten mit $E_{\rm Strahl}$ und Streuwinkel

De-Broglie Wellenlänge:
$$\lambda = \lambda/2\pi$$

$$\lambda = \frac{\hbar}{|\vec{p}|} = \frac{\hbar c}{\sqrt{(2mc^2E_{\mathrm{kin}} + E_{\mathrm{kin}}^2)}}$$

• Auflösung von linearer Ausdehnung Δx : $\lambda \leq \Delta x$

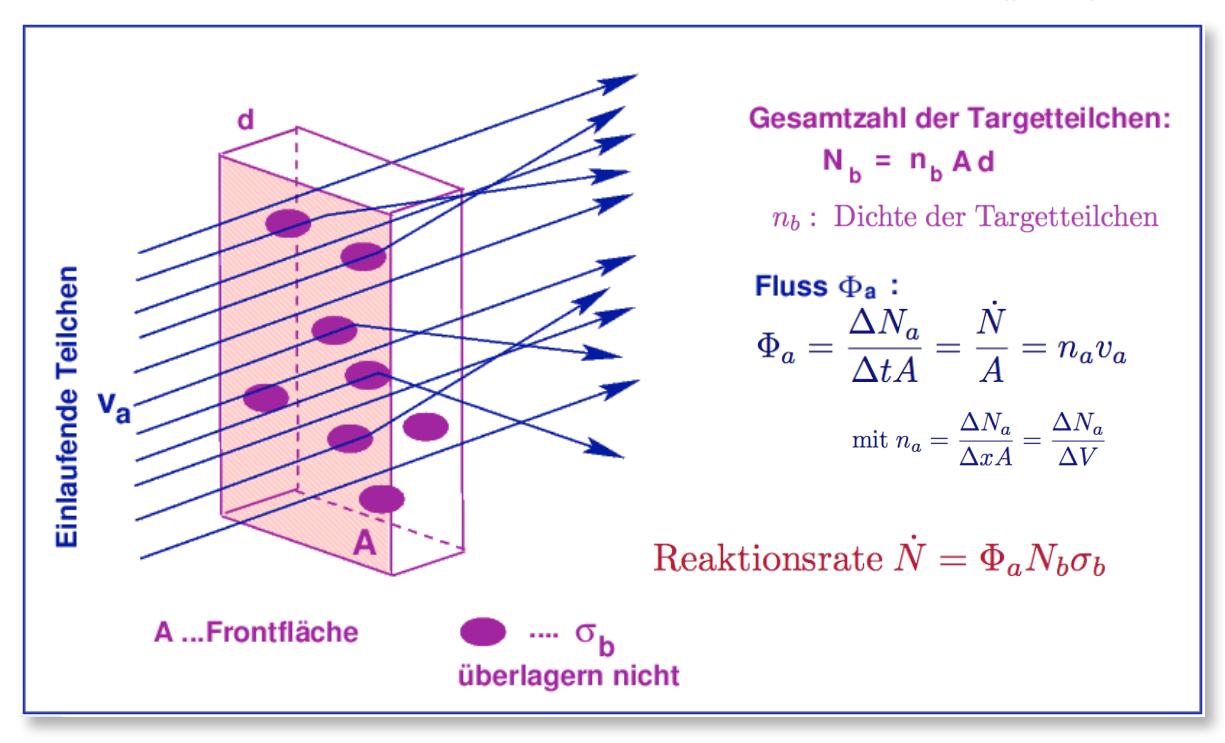
$$|\vec{p}|c \ge \frac{\hbar c}{\Delta x} \sim \frac{200 MeV \cdot fm}{\Delta x}$$

2.2 Wirkungsquerschnitt

Mass für die Wahrscheinlichkeit einer Reaktion (damit Mass für die Stärke einer Wechselwirkung)

Abhängig von Art der kollidierenden Teilchen und der Kräfte, die zwischen ihnen wirken

Geometrischer Reaktionsquerschnitt :
$$\sigma_b = rac{\dot{N}}{\Phi_a \cdot N_b}$$



ullet Totaler Wirkungsquerschnitt $\sigma_{
m tot}$

$$\sigma_{
m tot} = rac{Reaktionsrate}{Fluss imes Zahl\ der\ Streuzentren}$$

 σ_{tot} ist physikalische Grösse mit Dimension einer Fläche:

$$\sigma_{
m tot} = \sigma_{
m elast} + \sigma_{
m inelast}$$

1 barn = 1 b =
$$10^{-28}$$
 m²

• Differentieller WQ $\frac{d\sigma(\theta)}{d\Omega}$ $\sigma_{\mathrm{tot}} = \int \frac{d\sigma(\theta)}{d\Omega} d\Omega$

• Luminosität
$$\mathcal{L} = \Phi_a \cdot N_b \longrightarrow \dot{N} = \sigma \cdot \mathcal{L}$$

Im Speicherring:
$$\mathcal{L} = rac{N_a \, N_b \, u}{A}$$

u .. Umlauffrequenz mal Zahl der Teilchenpakete

A .. Strahlguerschnitt

Nichtrelativistische Quantenmechanik

Kurze Zusammenfassung der wesentlichen Befunde der Quantenmechanik nichtrelativistischer Systeme:

- 1. Zustandsfunktion: durch komplexe Wellenfunktion $\psi(q_i,s_i,t)$ dargestellt $(q_i: (kanonische) Orts-Koordinate, <math>s_i: Spin)$ Wahrscheinlichkeitsdichte: $\rho=\mid\psi\mid^2\geq 0$
- 2. Einer physikalischen Observablen des Systems entspricht ein linearer, hermitescher Operator Ω Beispiel: Impuls entspricht Gradientenoperator $-i\frac{\partial}{\partial q_i}$
- 3. Eigenzustände Ψ_n zum Operator Ω , wenn gilt

$$\Omega \psi_n = \omega_n \psi_n$$
 ω_n ... Eigenwerte

4. Eigenzustände bilden Orthonormalbasis, nach der sich jeder Zustand entwickeln lässt

$$\psi = \sum_{n} a_n \psi_n$$

5. Messungen einer Observablen liefert n-ten Eigenwert von Ω mit einer Wahrscheinlichkeit $\mid a_n \mid^2$ Erwartungswert einer Observablen:

$$\langle \Omega \rangle_{\psi} = \sum_{s} \int (dq_{i}...) \psi^{*}(q_{i}, s_{i}, t) \Omega \psi(q_{i}, s_{i}, t)$$
$$\langle \Omega \rangle_{\psi} = \sum_{s} \sum_{n} |a_{n}|^{2} \omega_{n}$$

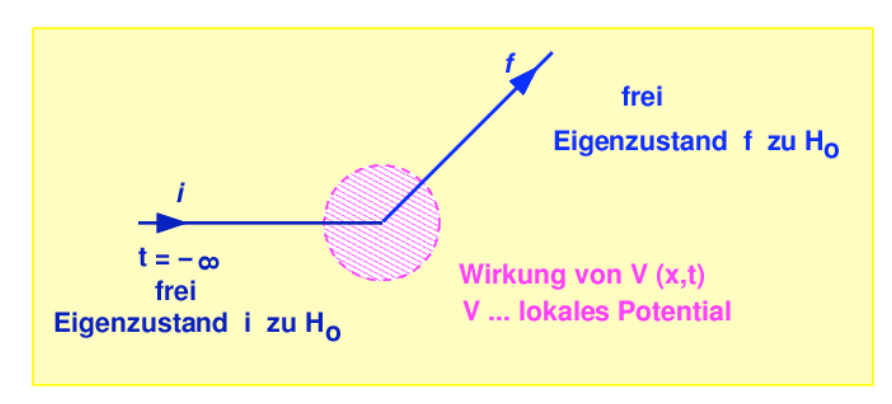
6. Zeitliche Entwicklung des Systems beschrieben durch Schrödinger Gleichung:

$$i\frac{\partial \psi}{\partial t} = H\psi$$

Schrödinger Gleichung nicht Lorentz-invariant nicht verwendbar zur Beschreibung der zeitlichen Entwicklung relativistisch bewegter Systeme (siehe später)

Nichtrelativistische Störungstheorie

Betrachten nichtrelativistische Streuprozesse: Einzelstreuung an lokalem Potential vor und nach der Streuung: freies Teilchen



Teilchen ist frei bei $t = -\infty$ und bei $t = +\infty$ Potential wirkt nur bei $t \simeq 0$

— Teilchen als Lösung der Schrödinger Gleichung für freie Teilchen beschreibbar

Ziel: Lösung der Schrödinger Gleichung für Teilchen, welches sich in Anwesenheit eines Wechselwirkungspotentials V(x,t) bewegt

Annahme: Hamilton H_o ist zeitunabhängig: Lösung der Schrödinger Gleichung für <u>freie</u> <u>Teilchen</u> sind Eigenzustände ϕ_n zur Energie E_n :

$$\mathsf{H}_o\phi_n = \mathsf{E}_n\phi_n$$

Suchen nach Lösungen für das durch V(x,t) gestörte System:

$$(\mathsf{H}_o + \mathsf{V}(\mathsf{x},\mathsf{t})) \ \phi = i \frac{\partial \phi}{\partial t}$$

 ϕ kann nach den Eigenzuständen ϕ_n des <u>ungestörten</u> Systems entwickelt werden:

$$\phi = \sum_{n} a_n(t)\phi_n(\vec{x})e^{-iE_nt}$$

 \mid a $_{n}\mid^{2}$ Wahrscheinlichkeitsdichte der Eigenzustände ϕ_{n}

2.3 Fermi 'Goldene Regel'

Beziehung zwischen Übergangsrate W Übergangsmatrixelement M_{fi} Zustandsdichte $\rho(E^{'})$

Quantenmechanische Störungstheorie:

$$W = \frac{2\pi}{\hbar} \mid M_{fi} \mid^2 \rho(E')$$

$$M_{fi} = \left\langle \psi_f \mid H_{\text{INT}} \mid \psi_i \right\rangle = \int \psi_f^*(x) H_{\text{INT}} \psi_i(x) dV$$

M_{fi} enthält die "Physik" des beobachteten Prozesses

 H_{INT} ... Hamilton Operator: beschreibt Wechselwirkungs-Potential, also

$$H = H_0 + V(x, t) = H_0 + H_{INT}.$$

$$\rho(E') = \frac{dn(E')}{dE'} = \frac{V}{(2\pi\hbar)^3} \frac{4\pi p'^2}{v'}$$

Für den Wirkungsquerschnitt erhält man:

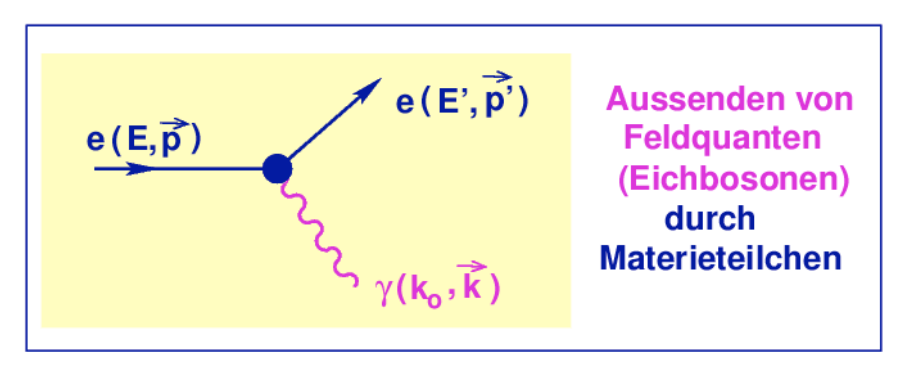
$$\sigma = \frac{W \cdot V}{v_a} = \frac{2\pi}{\hbar v_a} \mid M_{fi} \mid^2 \rho(E')V$$

kennt man $M_{fi} \longrightarrow \sigma$ berechnen Misst man $\sigma \longrightarrow M_{fi}$ bestimmen (und damit H_{INT})

Bemerkung: Goldene Regel gilt für Streuprozesse, Zerfall von instabilen Teilchen, Anregung von Teilchenresonanzen, etc.

2.4 Wechselwirkungen und Kräfte

- Nichtrelativistische QM: Schrödinger Gleichung
 Bewegung eines punktförmigen Teilchens in einem äusseren Feld
 - Quantenfeldtheorie: beschreibt Erzeugung und Vernichtung des Feldes, bzw. der Teilchen (Feldquanten)
- Mechanismus der Kraftübertragung (Wechselwirkung) : Beispiel



Energie-Impulserhaltung:

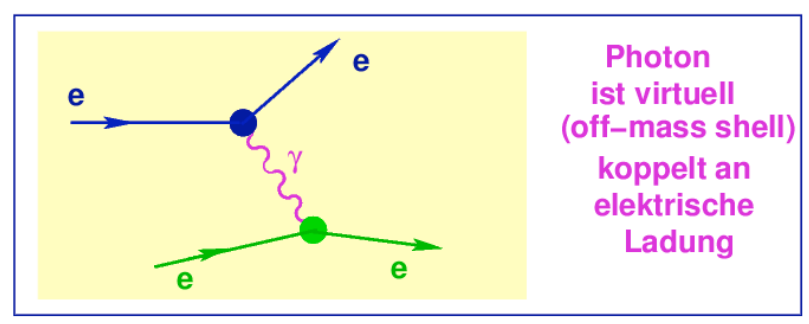
$$E^{2} - \vec{p}^{2} = (E' + k_{o})^{2} - (\vec{p}' + \vec{k})^{2}$$
$$m_{e}^{2} = m_{e}^{2} + m_{\gamma}^{2} + 2E'k_{o} - 2\vec{p}'\vec{k}$$

für reelles Photon $m_{\gamma}=0:E^{'}$ = $\mid \vec{p}^{'}\mid \cos\Theta$, d.h. $E^{'}\leq \mid \vec{p}^{'}\mid :$ aber $m_{e}\neq 0$

Abstrahlung eines reellen Photons ($m_{\gamma}=0$) so nicht möglich.

- können "virtuelle" Photonen als Darstellung eines Kraft- bzw. Potentialfeldes betrachten.
- Trifft ein virtuelles Photon auf weiteres e⁻ und wird von diesem absorbiert ⇒ Impulsübertragung von einem e⁻ auf das andere e⁻

Da Kraft als Impulsänderung definiert ist, entspricht dies dem Mechanismus der Kraftübertragung:



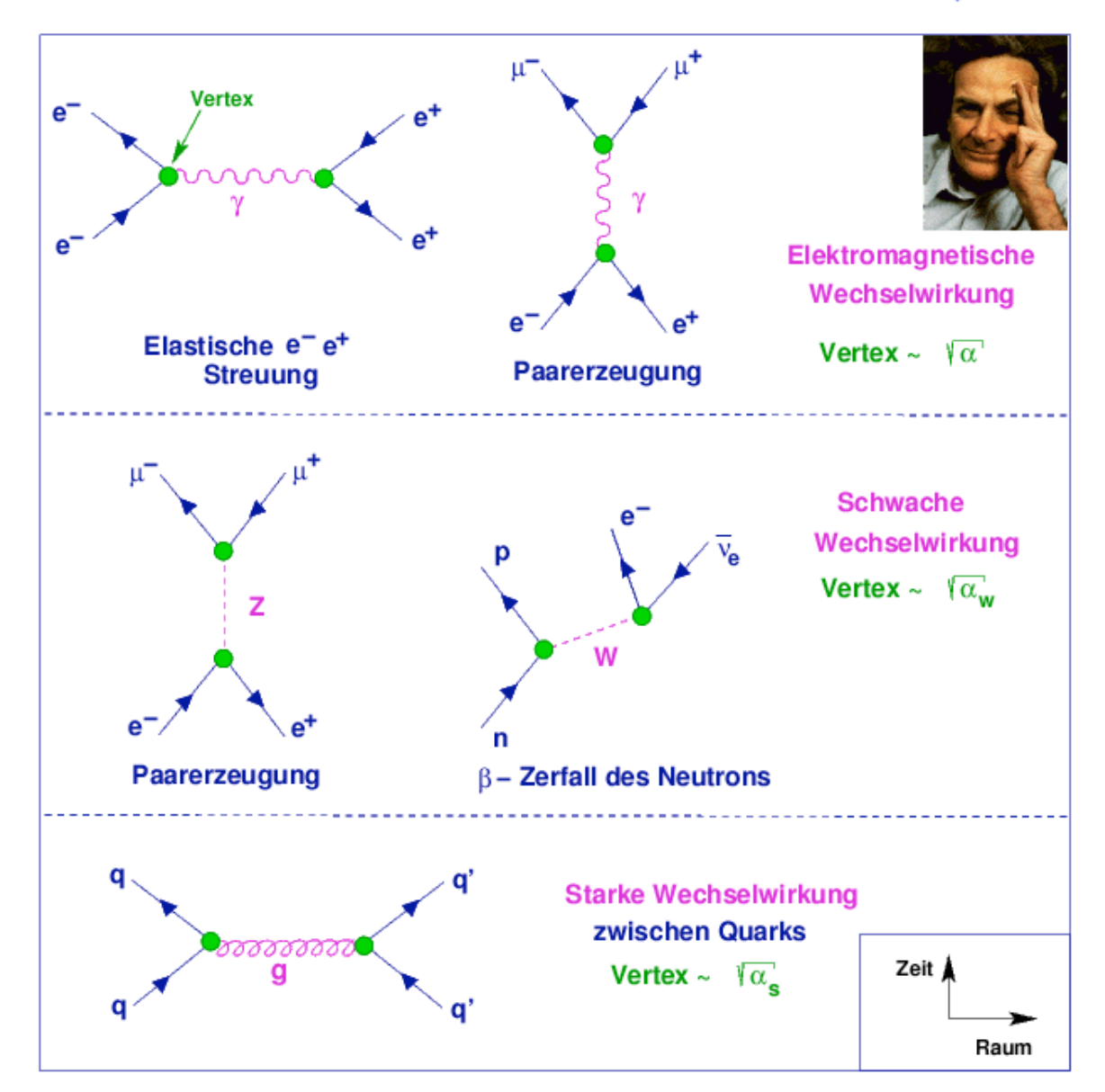
2.5 Feynman Diagramme

- Klassische Elektrodynamik: Feld E Coulomb: $F = E(r) \cdot q$: Kraft(-Wirkung) ist beobachtbar, Feld unbeobachtbar
- QED: WW durch Austausch virtueller (nicht beobachtbarer)
 Feldquanten = Photonen

unbeobachtbares Feld ←→ virtuelles Photon

ullet Graphische Darstellung: Feynman Diagramme jedes Symbol in einem Raum-Zeit Graphen entspricht einem Term in M_{fi} (Feynman Regeln)

R.Feynman Nobelpreis 1965



2.6 Teilchen und Antiteilchen

Beginn 1900: 2 fundamentale neue Konzepte in der Physik:

- Relativität
- QM-Beschreibung der Phänomene auf atomarer und subatomarer Skala

Basierend auf diesen Konzepten hat Dirac 1931 Antiteilchen vorhergesagt

Antiteilchen: Objekte mit derselben Masse und Lebensdauer wie das entsprechende Teilchen, jedoch mit entgegengesetztem Vorzeichen der Ladung

Relativistische Beziehung: $E^2 = \vec{p}^2 c^2 + m^2 c^4$ — Gesamtenergie kann positive und negative Werte annehmen:

$$E = \pm \sqrt{\vec{p}^2 c^2 + m^2 c^4}$$

Klassisch betrachtet: negative Energien für freie Teilchen sind bedeutungslos

<u>Quantenmechanisch</u> betrachtet: beschreiben z.B. einen e Strahl der sich mit Impuls \vec{p} entlang positiver x-Achse bewegt durch ebene Wellenfunktion:

$$\psi(x,t) = Ae^{i(\vec{p}\cdot\vec{x}-Et)/\hbar}$$

Formal jedoch beschreibt ψ auch ein Teilchen mit Energie (-E) und Impuls $(-\vec{p})$, das in die negative x-Richtung geht und in umgekehrter Zeitrichtung (-t): d.h. ersetzte $(E \cdot t)$ durch $(-E) \cdot (-t)$ und $(p \cdot x)$ durch $(-p) \cdot (-x)$ Beachte : positiver Ladungsfluss in eine Richtung entspricht negativem Ladungsfluss in umgekehrte Richtung.

Positron (e⁺): 1932 von Anderson in kosmischer Strahlung

entdeckt

Antiproton (\bar{p}): 1956 in Beschleunigerexperimenten

nachgewiesen

Anti–Wasserstoff Atom: Bindungszustand von e⁺ und \bar{p} :

1995 am CERN das 1. Mal nachgewiesen

2.7 Relativistische Wellengleichung (1)

- Verwenden $\hbar = c = 1$
- Nichtrelativistischer Fall: Schrödinger Gleichung

H
$$\psi$$
 = E ψ und $E_{\mathrm{kin}} = \frac{p^2}{2m}$

Operator substitution:
$$E \longrightarrow i \frac{\partial}{\partial t}$$

$$\vec{p} \longrightarrow -i \frac{\partial}{\partial \vec{x}} = -i \vec{\nabla}$$

$$\frac{\partial \psi}{\partial t} - \frac{i}{2m} \vec{\nabla}^2 \psi = 0$$

- 1.Ableitung in Zeit, 2.Ableitung in Raumkoordinaten
 Schrödinger Gleichung ist nicht relativistisch invariant
- Relativistischer Fall: Klein-Gordon Gleichung Relativistischer Energiesatz: $E^2 = \vec{p}^{\;2} + m^2$ wird durch Operatorsubstitution zu:

$$\frac{\partial^2 \psi}{\partial t^2} - \vec{\nabla}^2 \psi + m^2 \psi = 0$$

Klein-Gordon Gleichung ist relativistisch invariant und beschreibt Teilchen mit Spin 0 (skalare Bosonen)

Lösung : $\psi(x,t)$ ebene Welle: $\psi(x,t)$ = $Ae^{i(\vec{p}\vec{x}-Et)}$

Relativistische Wellengleichung (2)

Relativistischer Fall: Dirac Gleichung

Ziel von Dirac: Gleichungen linear in Ort und Zeit

 Beginnen wieder mit Schrödinger Gleichung und fordern Linearität in Ort und Zeit → allgemeine Form:

$$i\frac{\partial \psi}{\partial t} = (\vec{\alpha} \cdot \vec{p} + \beta m)\psi$$

• Relativistische Energiesatz muss erfüllt sein damit müssen die Lösungen ψ der Dirac Gleichung auch die Klein-Gordon Gleichung erfüllen:

$$-\frac{\partial^2 \psi}{\partial t^2} = (\vec{p}^2 + m^2)\psi$$

• Koeffizientenvergleich: $(\vec{\alpha} \cdot \vec{p} + \beta m)^2 = \vec{p}^2 + m^2$ erhalten somit Bedingungen für die Koeffizienten $\vec{\alpha}, \beta$

$$\begin{array}{c} \alpha_1^2 = \alpha_2^2 = \alpha_3^2 = \beta^2 = 1 \\ \alpha_i \alpha_j + \alpha_j \alpha_i = 0 & \text{ für } i \neq j \\ \alpha_i \beta + \beta \alpha_i = 0 \end{array}$$

- $ightarrow \psi$ ist eine 4-komponentige Wellenfunktion: Dirac Spinor
- \rightarrow es gibt verschiedene Darstellungen der Vierer-Matrizen $\vec{\alpha}, \beta$:
- Pauli–Dirac Darstellung: $\vec{\alpha} = \begin{pmatrix} 0 & \vec{\sigma} \\ \vec{\sigma} & 0 \end{pmatrix}$, $\beta = \begin{pmatrix} 1 & 0 \\ 0 & -1 \end{pmatrix}$
- Weyl Darstellung: $\vec{\alpha} = \begin{pmatrix} -\vec{\sigma} & 0 \\ 0 & \vec{\sigma} \end{pmatrix}$, $\beta = \begin{pmatrix} 0 & 1 \\ 1 & 0 \end{pmatrix}$

 σ_i Pauli Matrizen

$$\sigma_1 = \begin{pmatrix} 0 & 1 \\ 1 & 0 \end{pmatrix}$$
 , $\sigma_2 = \begin{pmatrix} 0 & -i \\ i & 0 \end{pmatrix}$, $\sigma_3 = \begin{pmatrix} 1 & 0 \\ 0 & -1 \end{pmatrix}$

Lösungen der Dirac Gleichung

$$(i\gamma^{\mu}\partial_{\mu} - m)\psi = 0$$

kovariante Form

$$\gamma^{\mu}$$
 = $(\beta, \beta \vec{\alpha})$ Dirac γ -Matrizen

Die Dirac Gleichung ist ein Satz von vier gleichzeitig geltenden Gleichungen und muss daher vier Lösungen haben: 2 mit E > 0 und 2 mit E < 0

Separieren den Raum-Zeit-abhängigen Teil schreiben die vier Lösungen von ebenen Wellen als:

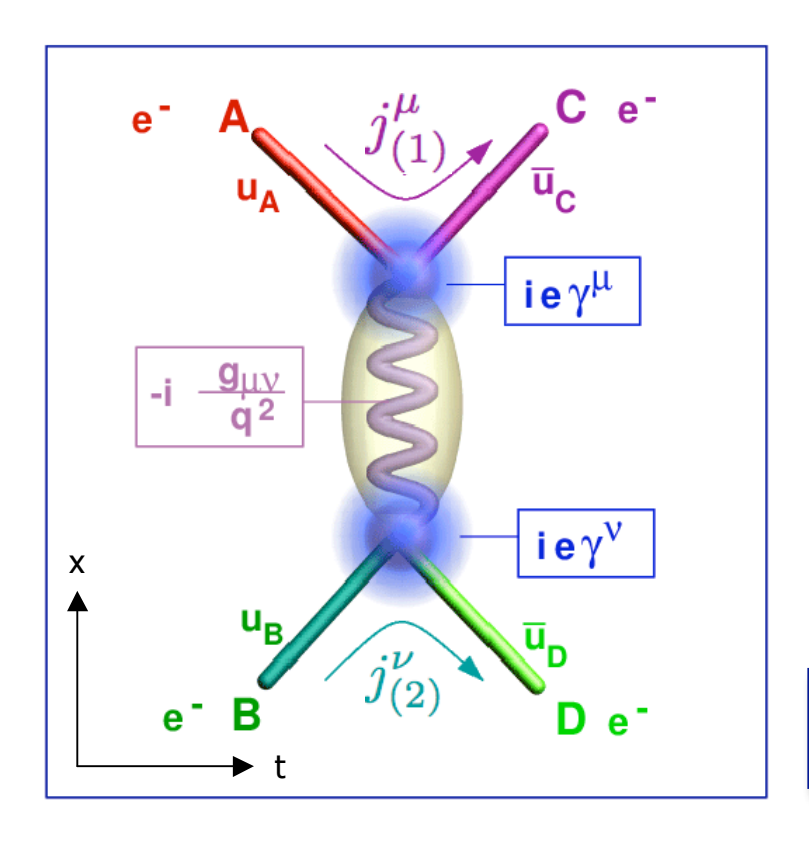
$$\psi = u_r(\vec{p})e^{-ip_\mu x^\mu}$$

$$\psi = v_r(\vec{p})e^{ip_\mu x^\mu}$$

mit μ = 0,...3 und r = 1, 2 u_r und v_r : vierkomponentige ortsunabhängige "Spinoren"

- $u_{1,2}$ Teilchen mit Dreier-Impuls \vec{p} und Energie E positiv-energetische Elektronenzustände mit 2 möglichen Spineinstellungen (\uparrow,\downarrow) d.h. e^- mit halbzahligem Spin
- $v_{1,2}$ Teilchen mit Dreier-Impuls (- \vec{p}) und Energie (-E) v_1,v_2 sind 2 Spinzustände mit negativen Energien, d.h. e^+ mit halbzahligem Spin

Feynman Regeln für e⁻e⁻ → e⁻e⁻



Strom von B
$$\rightarrow$$
 D: $j^{\nu}_{(2)}=ie\bar{u}_D\gamma^{\nu}u_B$

Photon Propagator:
$$-i\frac{g_{\mu\nu}}{q^2}$$

$$-iM_{fi} = j^{\mu}_{(1)}(-i\frac{g_{\mu\nu}}{q^2})j^{\nu}_{(2)}$$

• Zusammenhang: elektromagnetisches Potential A^{μ} und elektromagnetische Stromdichte j^{μ} aus <u>Maxwell</u> Gleichungen ($\partial^{\nu}\partial_{\nu}A^{\mu}=j^{\mu}$, und $A^{\mu}\propto e^{iq^{\nu}x_{\nu}}$):

$$A^{\mu} = -\frac{1}{q^2} j^{\mu}$$

• e^- : Spin = $\frac{1}{2}$ Teilchen \longrightarrow <u>Dirac</u> Gleichung

$$(i\gamma^{\mu}\partial_{\mu} - m)\psi = 0$$

kovariante Form

$$\begin{array}{ll} \gamma^{\mu} = (\beta,\beta\vec{\alpha}) \; \; \; {\rm Dirac} \; \gamma - {\rm Matrizen} \\ \psi = u(\vec{p}\,) e^{ip^{\nu}x_{\nu}} \; \; \; {\rm ebene} \; {\rm Spinorwelle} \\ \end{array} \qquad \bar{\psi} \equiv \psi^{\dagger}\gamma^{o}$$

• Vertexfaktor $ie\gamma^{\mu}$: 4×4 Matrix im Raum der Spinoren

$$-i\mathcal{M}_{fi} = (ie\bar{u}_C \gamma^\mu u_A)(-i\frac{g_{\mu\nu}}{q^2})(ie\bar{u}_D \gamma^\nu u_B)$$